

N-377 車道を低くすることによる減音について

九州工業大学 正会員 ○渡辺 義則
積水樹脂 坂田 洋行

1. はじめに 都市における道路交通騒音は、今日でも依然社会問題となっている。北九州市でも環境基準が十分に満たされているわけではない。しかし他の研究¹⁾から大体12~14dBの減音で北九州市における1, 2種地域の環境基準超過量が約50%解消できることがわかった。よって、本研究では10dB以上の減音量を目標に定め、それを得るために道路構造として車道の低い地域に着目した。そこで実際にその様な地域での減音量を測定し、理論的に計算された値²⁾との比較から理論式がその様な道路構造でも適用可能なことを検証するとともに、最後に目標の減音量を得るために道路構造について考察した。

2. 分析方法 音源には対象道路区間で大型車両(ELF250)を一定速度で走行させたものを使用した。それを音源高が地表から0.3mの無指向性の点音源と仮定して分析した。本研究では、移動する点音源から放射された音の周波数fに対するインサーションロス(減音量)C_{Ef}及びそれを合成したオーバーオールのインサーションロスC_Eを次式より求めた。

$$C_{Ef} = 10 \log \int_{-\infty}^{\infty} Z_g(t) dt$$

$$= -10 \log \int_{-\infty}^{\infty} Z_{Ef}(t) dt \dots (1)$$

C_{Ef}: 実験ケースE、周波数fにおけるインサーションロス

Z_g: 音が幾何減衰する時の(平坦部道路における)音の強さ(W/m²)

Z_{Ef}: 車両の通過に伴って対象観測点に生じる実験ケースEでの音の強さ(W/m²)

[-M, M]: 構分区間

$$C_E = U_{OA} - 10 \log \sum_f 10^{(U_f - C_{Ef})/10} \dots (2)$$

C_E: オーバーオールのインサーションロス

U_{OA}: 相対レベル(オーバーオール、dB(A))

U_f: 周波数fの相対レベル(dB(A))

U_{OA}及びU_fの値を表-1に示す。

3. 理論式の検証 測定条件を表-2に示す。まずC_{Ef}の結果を検討する。測定場所にパッティングや音の反射の影響を受けていないCASE1~3の中からCASE1を選んで図-1に示す。図-1よりフレネル番号の大きい場所(周波数3, 15kHz付近)では実測値が理論式よりも低めに現れているが、比較的理論曲線上に分布しているといつてよい。CASE2, 3についても同様な結果を得た。なお、結果は割愛するがCASE4~7に関してはパッティングや反射の影響を受けたために、実測値が全体を通して理論曲線よりも高い位置に現れる結果となつた。次にC_EについてもC_{Ef}と同様にCASE1~3の結果を図-2に示す。図からほとんど全ての観測点の減音量が理論曲線上に現れていることがわかる。ここで各測点におけるC_Eと理論値との差とそ

表-1 騒音出力の相対レベル(オクターブ)

周波数Hz	U _{OA}	相対レベルU _f (dB)				
		125	250	500	1k	2k
小型車類	8.0	-9.0	-3.3	1.4	4.4	1.8
大型車類	9.1	-5.4	1.4	3.5	4.5	1.7

表-2 実験条件

CASE	壁の種類	規格
CASE 1	合板+石垣	高さ2.4m
CASE 2	石垣	高さ1.5m
CASE 3	ブロック塀	高さ1.8m
CASE 4	合板+石垣	高さ3.3m
CASE 5	石垣	高さ2.4m
CASE 6	合板+石垣	高さ3.1m
CASE 7	石垣	高さ2.2m

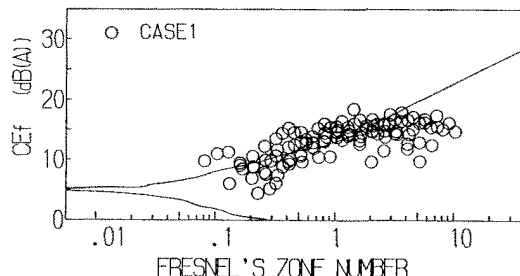


図-1 CASE1のインサーションロス(周波数別)

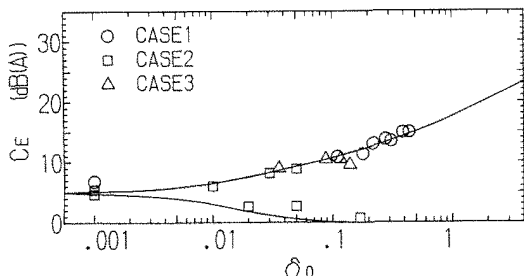


図-2 CASE1~3のインサーションロス(OA)

の平均値を表-3に示す。表-3からCASE1～3については理論値との差は小さいが、パッティングのあったCASE4, 5では約4dB、反射の影響を受けたCASE6, 7では約3dB理論値を下回った。なお、この値を使ってCASE6のC_{er}を補正すると、図-3のようにほとんど理論曲線上に分布してきた。他のCASE4, 5, 7についても同様である。これらの結果より路面にパッティングもなく反射の影響がなければ、車道の低い地域での減音量を理論式から推定可能だと判断できる。

4. 目標の減音量を得るための道路構造の検討

ここではトライフィック機能を重視した道路区間ににおいて減音を図るものとして、遮音壁が設置された道路の無限長についての理論式を用いる。以下にその理論式を示す。

$$C_d = 10 \log B_1$$

$$B_1 = \int_{-\infty}^{\infty} 10^{SPL(t)/10} 10^{-L(t)/10} dt \quad \dots (3)$$

L_{gk}：道路長無限の場合の等価騒音レベル

SPL：音が幾何減衰する時に対象観測点に生じる騒音レベル

L：回折減衰量（前川の式を用いて算出）

t：時間

式(3)を数値積分して求めたC_dと車両が対象観測点の正面にあるときの行路差δ_oの関係を図-4に示す。上述の関係を用いて、壁の高さ最大(3.3m)の場合の減音量C_dと行路差δ_oの関係を求めて図-6に示す。図-5によると10dB以上の減音量を得るためにには行路差が0.1以上(⑥のラインより下方)になければならないことがわかる。また、CASE4のように壁の高さが3.3mあれば壁の高さまでは少なくとも12dBの減音量が得られるから、1, 2種地域においても環境基準超過量の約50%が、3, 4種地域においては100%が解消できると推察される。ただ、これらのこととはパッティングや反射のない場合いいえるのであり、パッティングのある場合は目標値を高めに設定し、反射のある場合は吸音処理を施すといった対処が必要となる。

参考文献

- 1)出口忠義：音源対策による自動車騒音公害軽減の検討、九州工業大学修士論文、1990
- 2)渡辺義則、喜洲淳哉：荷重関数にもとづく道路交通騒音のための等価騒音レベル簡易計算法、交通工学、第25巻3号、PP.9～16、1990

表-3 インサーションロスの理論値との差(0A)

観測点	(a)	(b)	(c)	(d)	(e)	(f)	(g)	(h)	平均
CASE 1	1.8	0.0	0.5	0.8	-0.7	0.0	0.7	0.3	0.4
CASE 2	0.7	0.7	-0.3	-0.6	2.2	0.5	0.2	-0.2	0.4
CASE 3	0.4	0.0	-0.5	-2.0					-0.5
CASE 4	-5.8	-4.5	-2.9	-4.8	-4.4	-3.6	-2.8	-4.6	-4.2
CASE 5	-2.3	-2.5	-2.5	-4.5	-2.8	-3.0	-2.3	-3.8	-3.0
CASE 6	-4.0	-3.0	-3.1	-3.1	-1.3	-1.5	-2.5	-2.8	-2.7
CASE 7	-0.3	-1.8	-4.0	-4.8	-0.3	-2.5	-3.8	-4.5	-2.7

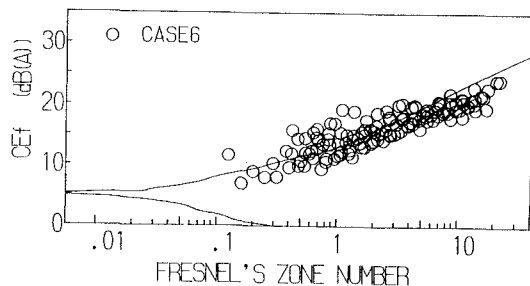


図-3 補正後のインサーションロス(CASE6)

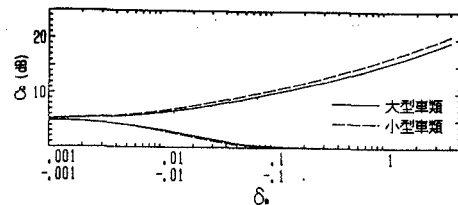
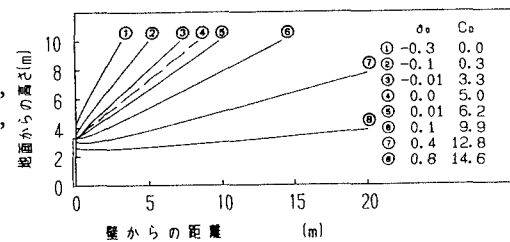
図-4 C_dとδ_oの関係

図-5 無限長の壁による減音量(CASE6)